



Laboratorium EMVO Sp. J. Urbański, Pawełak

ul. Jasna 1
00-013 Warszawa

tel. +48 22 780 29 64
e-mail: laboratorium@emvo.pl



AB 1630

**Sprawozdanie z pomiarów pól elektromagnetycznych - środowisko ogólne
nr 05/11/OŚ/2021 - P4 - W**



Nr i nazwa stacji	OPA4402	
Adres	Bronisławów, dz. nr 116, pow. opatowski, woj. świętokrzyskie	
Opracowanie		Specjalista ds. pomiarów
Autoryzacja		Kierownik Laboratorium
Podpis	Podpis jest prawidłowy Dokument podpisany przez Data: 2021.11.09 09:14:11 CET Powód: Zatwierdzam dokument	
Data	2021-11-04	

Spis treści

1. Informacje ogólne.....	3
2. Podstawa prawna.	3
3. Opis pomiarów.....	3
4. Zróżnicowanie dopuszczalne poziomy pól elektromagnetycznych.....	5
5. Charakterystyka źródeł PEM.....	5
6. Wyniki pomiarów.....	6
7. Stwierdzenie zgodności	8
8. Oświadczenie.....	8
9. Spis załączników.	8

1. Informacje ogólne.

Zleceniodawca	P4 sp. z o.o., ul. Wynalazek 1, 02-677 Warszawa osoba udzielająca informacji –
Istotne informacje dostarczone przez klienta	komplet informacji niezbędnych do wykonania pomiarów i opracowania sprawozdania
Dane otrzymane od klienta mogące mieć wpływ na ważność wyników	Dane anten sektorowych, dane anten radioliniowych, parametry pracy instalacji, poprawka pomiarowa, ustawienie pochylenia anten
Prowadzący instalację	P4 sp. z o.o., ul. Wynalazek 1, 02-677 Warszawa
Lokalizacja obiektu	Bronisławów, dz. nr 116, pow. opatowski, woj. świętokrzyskie
Miejsce instalacji anten	stalowa wieża kratowa
Miejsce instalacji urządzeń	outdoor
Osoby wykonujące pomiar	
Data wykonania pomiaru	2021-11-04
Czas rozpoczęcia pomiaru	13:00
Czas zakończenia pomiaru	14:50
Temperatura na początku pomiaru [°C]	13
Temperatura na koniec pomiaru [°C]	12
Warunki atmosferyczne	Brak opadów.
Wilgotność na początku pomiaru [%]	71
Wilgotność na koniec pomiaru [%]	73
Inne źródła pól elektromagnetycznych oznaczone na załączniku graficznym	brak
Parametry pracy instalacji	eksploatacyjne

2. Podstawa prawna.

2.1 Normy i rozporządzenia:

- Rozporządzeniem Ministra Klimatu z dnia 17 lutego 2020 r. w sprawie sposobów sprawdzania dotrzymania dopuszczalnych poziomów pól elektromagnetycznych w środowisku (Dz.U. 2020 poz. 258)
- Rozporządzenie Ministra Zdrowia z dnia 17 grudnia 2019 r. w sprawie dopuszczalnych poziomów pól elektromagnetycznych w środowisku (Dz.U. 2019 poz. 2448)
- Obwieszczenie Marszałka Sejmu Rzeczypospolitej Polskiej z dnia 19 lipca 2019 r. w sprawie ogłoszenia jednolitego tekstu ustawy - Prawo ochrony środowiska (Dz.U. 2019 poz. 1396).

3. Opis pomiarów.

Metodologia pomiarowa	Pomiary w oparciu o Rozporządzeniem Ministra Klimatu z dnia 17 lutego 2020 r. w sprawie sposobów sprawdzania dotrzymania dopuszczalnych poziomów pól elektromagnetycznych w środowisku (Dz.U. 2020 poz. 258).
Cel badań	Określenie wartości natężenia pola elektrycznego w miejscach dostępnych dla ludności.

Opis zestawu pomiarowego	<p>Miernik Narda NBM 550, Sonda EF9091, o zakresie pomiarowym 0,8 V/m - 300 V/m pracująca w paśmie 0,1 – 90 GHz, świadectwo wydane przez Laboratorium Wzorców i Metrologii Pola Elektromagnetycznego, Instytut Telekomunikacji, Teleinformatyki i Akustyki Politechniki Wrocławskiej. Świadectwo ważne do 27.03.2022r.</p> <p>Miernik Narda NBM 550, Sonda EF9091 pracuje w zakresie temperatury -10°C - +50°C oraz wilgotności 5% - 95%.</p> <p>Niepewność rozszerzona 59,0% przy poziomie ufności 95% z uwzględnieniem współczynnika rozszerzenia k=2.</p>
Wypożyczenie pomocnicze	<p>Termohigrometr Bestone, typ: GM1362-EN-00, nr identyfikacyjny 1222436, świadectwo wzorcowania z dn. 03.04.2017r. wydane przez Laboratorium Pomiarowe "MUTECH". Przymiar wstępny STABILA, nr identyfikacyjny 5/WL/2016, świadectwo wzorcowania z dn. 06.09.2016 r. wydane przez Zespół Laboratoriów wzorcujących Okręgowego Urzędu Miar w Gdańsku.</p> <p>Dalmierz laserowy BOSH GLM 40, Świadectwo wzorcowania L4-L41.4180.141.2018.3061.1 z dnia 12 września 2018 wydane przez Pracownia Długości Samodzielnego Laboratorium Długości w Głównym Urzędzie Miar.</p> <p>GPS Garmin 64s okresowo sprawdzany w punktach osnowy geodezyjnej klasy 3 na podstawie licencji punktu, zgodnie z procedurą sprawdzeń okresowych IS/PO-16-11/03.</p>
Pomiary zostały wykonane	<ol style="list-style-type: none"> 1. na głównych i pomocniczych kierunkach pomiarowych, na kierunkach zbliżonych do azymutów anten oraz w dodatkowych pionach pomiarowych zgodnie z wymaganiami pkt 12, 13, 14 i 19 załącznika do rozporządzenia Ministra Klimatu z dnia 17 lutego 2020 r. (Dz. U. 2020, poz. 258), 2. na obszarze pomiarowym, dla którego, na podstawie uprzednio wykonanych obliczeń uzyskanych od zleceniodawcy, stwierdzono możliwość występowania pól elektromagnetycznych o poziomach zbliżonych do poziomów dopuszczalnych zgodnie z wymaganiami pkt 5 ppkt 2 oraz pkt 13 ppkt 1 załącznika do rozporządzenia Ministra Klimatu z dnia 17 lutego 2020 r. (Dz. U. 2020, poz. 258). Wyniki obliczeń nie uwzględniały parametrów pracy instalacji innych operatorów występujących na obiekcie bądź w obszarze pomiarowym. 3. w miejscach dostępnych dla ludności. 4. miejsca niedostępne podczas wykonywania pomiarów wskazane zostały w pkt 6 (tabeli wyniki pomiarów) 5. wyniki pomiarów uzyskane zostały przy uwzględnieniu poprawek pomiarowych przekazanych przez zleceniodawcę oraz przy rzeczywistych warunkach pracy instalacji innych operatorów (w przypadku występowania). W takiej sytuacji uwzględniono jednolitą poprawkę pomiarową wynoszącą 1,70
Szczególne warunki podczas wykonywania pomiarów	<p>Pomiary wykonane zostały podczas obowiązywania w kraju stanu epidemii, zgodnie z art. 122a ust. 1b Ustawy z dnia 27 kwietnia 2001 r. – Prawo ochrony środowiska (Dz. U. z 2019 r. poz. 1396, z późn. zm.9))</p>
Warunki pracy urządzeń nadawczych	<p>Podczas pomiarów zostały uwzględnione poprawki pomiarowe przekazane przez zleceniodawcę, umożliwiające uwzględnienie maksymalnych parametrów pracy instalacji zgodnie z pkt 7 załącznika do Rozporządzenia Ministra Klimatu z dnia 17 lutego 2020 r. w sprawie sposobów sprawdzania dotrzymania dopuszczalnych poziomów pól elektromagnetycznych w środowisku (Dz. U. 2020, poz. 258).</p>

4. Zróżnicowanie dopuszczalne poziomy pól elektromagnetycznych.

Zakresy znajdują się w Dzienniku Ustaw z dnia 17 grudnia 2019 r. przedstawione są w tabeli nr 2 (Dz. U. z 2019r. poz. 2448).

Parametr fizyczny Zakres Częstotliwości pola elektromagnetycznego	Składowa elektryczna E (V/m)	Składowa magnetyczna H (A/m)	Gęstość mocy S (W/m ²)
od 400 MHz do 2000 MHz	$1,375 \times f^{0,5}$	$0,0037 \times f^{0,5}$	$f / 200$
od 2 GHz do 300 GHz	61	0,16	10

5. Charakterystyka źródeł PEM.

Zgodnie z informacją otrzymaną od Klienta pomiary zostały wykonane przy ustawieniach pochylenia anten zgodnych z pkt. 13, ppkt 2 załącznika do rozporządzenia Ministra Klimatu z dnia 17 lutego 2020 roku.

Anteny sektorowe - dane otrzymane od klienta

Charakterystyka promieniowania		kierunkowa				
Rzeczywisty czas pracy [h/dobę]		24				
Rodzaj wytwarzanego pola		stacjonarne				
Lp	Wyszczególnienie	sektor 1				
I	Nadajnik stacji bazowej:					
1	Typ / Producent	RBS / Ericsson				
2	Częstotliwość (pasmo) MHz	900	1800	800	2100	800
3	Maksymalna moc nadawana na sektor [dBm]	46,02	50,79	46,02	50,79	46,02
II	Obciążenie:					
1	Typ anteny	Huawei A704517R0	Huawei ADU4518R8		Huawei ADU4518R8	
2	Producent anteny	Huawei	Huawei		Huawei	
3	Ilość anten	1	1		1	
4	Azymut	60				
5	Zakres kątów pochylenia anten [°]	0,00-10,00	2,00-12,00	0,00-10,00	2,00-12,00	0,00-10,00
6	Wysokość zainst. n.p.t. [m]	59,00				
7	EIRP [W]	2045	7961		8486	

Charakterystyka promieniowania		kierunkowa				
Rzeczywisty czas pracy [h/dobę]		24				
Rodzaj wytwarzanego pola		stacjonarne				
Lp	Wyszczególnienie	sektor 2				
I	Nadajnik stacji bazowej:					
1	Typ / Producent	RBS / Ericsson				
2	Częstotliwość (pasmo) MHz	900	1800	800	2100	800
3	Maksymalna moc nadawana na sektor [dBm]	46,02	50,79	46,02	50,79	46,02
II	Obciążenie:					
1	Typ anteny	Huawei A704517R0	Huawei ADU4518R8		Huawei ADU4518R8	
2	Producent anteny	Huawei	Huawei		Huawei	
3	Ilość anten	1	1		1	
4	Azymut	240				
5	Zakres kątów pochylenia anten [°]	0,00-10,00	2,00-12,00	0,00-10,00	2,00-12,00	0,00-10,00
6	Wysokość zainst. n.p.t. [m]	59,00				
7	EIRP [W]	2045	7961		8486	

„Bez pisemnej zgody Laboratorium niniejsze sprawozdanie nie może być powielane inaczej, jak tylko w całości. Ponadto wyniki dotyczą tylko badanych obiektów przywołanych w niniejszym sprawozdaniu z badań”

Charakterystyka promieniowania		kierunkowa				
Rzeczywisty czas pracy [h/dobę]		24				
Rodzaj wytwarzanego pola		stacjonarne				
Lp	Wyszczególnienie	sektor 3				
I	Nadajnik stacji bazowej:					
1	Typ / Producent	RBS / Ericsson				
2	Częstotliwość (pasmo) MHz	900	1800	800	2100	800
3	Maksymalna moc nadawana na sektor [dBm]	46,02	50,79	46,02	50,79	46,02
II	Obciążenie:					
1	Typ anteny	Huawei A704517R0	Huawei ADU4518R8		Huawei ADU4518R8	
2	Producent anteny	Huawei	Huawei		Huawei	
3	Ilość anten	1	1		1	
4	Azymut	330				
5	Zakres kątów pochylenia anten [°]	0,00-10,00	2,00-12,00	0,00-10,00	2,00-12,00	0,00-10,00
6	Wysokość zainst. n.p.t. [m]	59,00				
7	EIRP [W]	2045	7961		8486	

Anteny radioliniowe - dane otrzymane od klienta

Charakterystyka promieniowania				kierunkowa			
Rzeczywisty czas pracy [h/dobę]				24			
Rodzaj wytwarzanego pola				stacjonarne			
Linia radiowa				Antena			
Lp	typ/producent	częstotliwość pracy [GHz]	moc wyjściowa [dBm]	typ/producent	średnica anteny [m]	azymut [°]	wysokość zainstal. [m]
1	OPTIX RTN/HUAWEI	80/23	18/25	A23S80S06/Huawei	0,6	15	56,75
2	OPTIX RTN/HUAWEI	13	29	VHLPX4-13/Andrew	1,2	148	56,75

6. Wyniki pomiarów.

Wyniki pomiarów pól elektromagnetycznych dla celów ochrony środowiska przedstawia poniższa tabela. Piony pomiarowe zostały przedstawione w zał. 2.

Nr PP	Pole-E [V/m]	Pole-E*kE,+U [V/m]	Pole-H [A/m]	Pole-H*kE,+U [A/m]	Wys. pomiaru [m]	Opis pionu	Uwagi	WME	WMH
1	0,8	2,16	0,002	0,006	1,6	N: 50° 56' 35,2" E: 21° 41' 51,3"	otoczenie stacji nadawczej - ok. 100 m od obiektu wzdłuż gł. osi promieniowania - GKP	0,077	0,079
2	0,4*	2,16	0,002	0,006	1,6	N: 50° 56' 36,9" E: 21° 41' 55,6"	otoczenie stacji nadawczej - ok. 200 m od obiektu wzdłuż gł. osi promieniowania - GKP	0,077	0,079
3	0,6*	2,16	0,002	0,006	1,4	N: 50° 56' 38,3" E: 21° 42' 0,3"	otoczenie stacji nadawczej - ok. 300 m od obiektu wzdłuż gł. osi promieniowania - GKP	0,077	0,079
4	0,8	2,16	0,002	0,006	1,7	N: 50° 56' 40,6" E: 21° 42' 6,6"	otoczenie stacji nadawczej - ok. 450 m od obiektu wzdłuż gł. osi promieniowania - GKP	0,077	0,079
5	0,8	2,16	0,002	0,006	1,3	N: 50° 56' 41,5" E: 21° 42' 9,6"	otoczenie stacji nadawczej - ok. 500 m od obiektu wzdłuż gł. osi promieniowania - GKP	0,077	0,079
6	0,6*	2,16	0,002	0,006	1,7	N: 50° 56' 43" E: 21° 42' 13,9"	otoczenie stacji nadawczej - ok. 600 m od obiektu wzdłuż gł. osi promieniowania - GKP	0,077	0,079
7	0,4*	2,16	0,002	0,006	1,9	N: 50° 56' 32,5" E: 21° 41' 41,9"	otoczenie stacji nadawczej - ok. 100 m od obiektu wzdłuż gł. osi promieniowania - GKP	0,077	0,079
8	0,4*	2,16	0,002	0,006	2,0	N: 50° 56' 30,9" E: 21° 41' 37,5"	otoczenie stacji nadawczej - ok. 200 m od obiektu wzdłuż gł. osi promieniowania - GKP	0,077	0,079
9	0,3*	2,16	0,002	0,006	1,6	N: 50° 56' 29,4" E: 21° 41' 32,9"	otoczenie stacji nadawczej - ok. 300 m od obiektu wzdłuż gł. osi promieniowania - GKP	0,077	0,079
10	0,6*	2,16	0,002	0,006	1,9	N: 50° 56' 27,8" E: 21° 41' 28,4"	otoczenie stacji nadawczej - ok. 400 m od obiektu wzdłuż gł. osi promieniowania - GKP	0,077	0,079
11	1,0	2,70	0,003	0,007	1,8	N: 50° 56' 26,2" E: 21° 41' 24,1"	otoczenie stacji nadawczej - ok. 500 m od obiektu wzdłuż gł. osi promieniowania - GKP	0,097	0,098
12	0,6*	2,16	0,002	0,006	1,7	N: 50° 56' 24,9" E: 21° 41' 19,3"	otoczenie stacji nadawczej - ok. 600 m od obiektu wzdłuż gł. osi promieniowania - GKP	0,077	0,079
13	0,5*	2,16	0,002	0,006	1,5	N: 50° 56' 36,8" E: 21° 41' 44,2"	otoczenie stacji nadawczej - ok. 100 m od obiektu wzdłuż gł. osi promieniowania - GKP	0,077	0,079
14	0,4*	2,16	0,002	0,006	1,5	N: 50° 56' 39,5" E: 21° 41' 41,9"	otoczenie stacji nadawczej - ok. 200 m od obiektu wzdłuż gł. osi promieniowania - GKP	0,077	0,079
15	0,4*	2,16	0,002	0,006	1,4	N: 50° 56' 42,3" E: 21° 41' 39,3"	otoczenie stacji nadawczej - ok. 300 m od obiektu wzdłuż gł. osi promieniowania - GKP	0,077	0,079

16	0,4*	2,16	0,002	0,006	1,9	N: 50° 56' 45,2" E: 21° 41' 36,8"	otoczenie stacji nadawczej - ok. 400 m od obiektu wzdłuż gł. osi promieniowania - GKP	0,077	0,079
17	0,7*	2,16	0,002	0,006	1,4	N: 50° 56' 48,2" E: 21° 41' 34,8"	otoczenie stacji nadawczej - ok. 500 m od obiektu wzdłuż gł. osi promieniowania - GKP	0,077	0,079
18	1,0	2,70	0,003	0,007	1,8	N: 50° 56' 51,1" E: 21° 41' 32,3"	otoczenie stacji nadawczej - ok. 600 m od obiektu wzdłuż gł. osi promieniowania - GKP	0,097	0,098
19	0,5*	2,16	0,002	0,006	1,4	N: 50° 56' 35,5" E: 21° 41' 47,6"	otoczenie stacji nadawczej - ok. 50 m od obiektu wzdłuż gł. osi promieniowania - GKP	0,077	0,079
20	0,6*	2,16	0,002	0,006	1,2	N: 50° 56' 36,8" E: 21° 41' 47,9"	otoczenie stacji nadawczej - ok. 100 m od obiektu wzdłuż gł. osi promieniowania - GKP	0,077	0,079
21	0,5*	2,16	0,002	0,006	1,8	N: 50° 56' 38,5" E: 21° 41' 49"	otoczenie stacji nadawczej - ok. 150 m od obiektu wzdłuż gł. osi promieniowania - GKP	0,077	0,079
22	0,6*	2,16	0,002	0,006	1,6	N: 50° 56' 32,6" E: 21° 41' 47,8"	otoczenie stacji nadawczej - ok. 50 m od obiektu wzdłuż gł. osi promieniowania - GKP	0,077	0,079
23	0,5*	2,16	0,002	0,006	1,7	N: 50° 56' 31" E: 21° 41' 49,5"	otoczenie stacji nadawczej - ok. 100 m od obiektu wzdłuż gł. osi promieniowania - GKP	0,077	0,079
24	0,4*	2,16	0,002	0,006	1,9	N: 50° 56' 29,5" E: 21° 41' 50,4"	otoczenie stacji nadawczej - ok. 150 m od obiektu wzdłuż gł. osi promieniowania - GKP	0,077	0,079
25	0,3*	2,16	0,002	0,006	1,3	N: 50° 56' 31,8" E: 21° 41' 42,8"	otoczenie stacji nadawczej - PKP	0,077	0,079
26	0,2*	2,16	0,002	0,006	1,9	N: 50° 56' 30,9" E: 21° 41' 40,5"	otoczenie stacji nadawczej - PKP	0,077	0,079
27	0,3*	2,16	0,002	0,006	1,6	N: 50° 56' 32,4" E: 21° 41' 39,6"	otoczenie stacji nadawczej - PKP	0,077	0,079
28	0,5*	2,16	0,002	0,006	1,5	N: 50° 56' 33,2" E: 21° 41' 41,7"	otoczenie stacji nadawczej - PKP	0,077	0,079
29	0,6*	2,16	0,002	0,006	1,2	N: 50° 56' 34,4" E: 21° 41' 44,8"	otoczenie stacji nadawczej - PKP	0,077	0,079
30	0,5*	2,16	0,002	0,006	1,5	N: 50° 56' 36,4" E: 21° 41' 43,2"	otoczenie stacji nadawczej - PKP	0,077	0,079
31	0,3*	2,16	0,002	0,006	1,6	N: 50° 56' 37,9" E: 21° 41' 42"	otoczenie stacji nadawczej - PKP	0,077	0,079
32	0,5*	2,16	0,002	0,006	1,7	N: 50° 56' 38,4" E: 21° 41' 44,3"	otoczenie stacji nadawczej - PKP	0,077	0,079
33	0,3*	2,16	0,002	0,006	1,5	N: 50° 56' 37,1" E: 21° 41' 45,2"	otoczenie stacji nadawczej - PKP	0,077	0,079
34	0,5*	2,16	0,002	0,006	1,3	N: 50° 56' 36,1" E: 21° 41' 50,3"	otoczenie stacji nadawczej - PKP	0,077	0,079
35	0,3*	2,16	0,002	0,006	1,4	N: 50° 56' 36,8" E: 21° 41' 52,5"	otoczenie stacji nadawczej - PKP	0,077	0,079
36	0,5*	2,16	0,002	0,006	1,8	N: 50° 56' 35,1" E: 21° 41' 55"	otoczenie stacji nadawczej - PKP	0,077	0,079
37	0,3*	2,16	0,002	0,006	1,9	N: 50° 56' 34,5" E: 21° 41' 51,7"	otoczenie stacji nadawczej - PKP	0,077	0,079
A	0,5*	2,16	0,002	0,006	1,7	N: 50° 56' 33,7" E: 21° 41' 51,6"	pomieszczenie gospodarcze, pomiar przed wejściem - DPP	0,077	0,079
B	0,7*	2,16	0,002	0,006	1,4	N: 50° 56' 35,5" E: 21° 41' 53,2"	dom w budowie, pomiar przed wejściem - DPP	0,077	0,079

wynik pomiaru pole - E [V/m] - maksymalna wartość chwilowa zmierzona w danym pionie pomiarowym

* Wartość zmierzona poniżej zakresu akredytacji. Do obliczeń przyjęto wartość zgodną z progmem czułości zestawu pomiarowego.

GKP – główne kierunki pomiarowe

PKP – pomocnicze kierunki pomiarowe

DPP – dodatkowe punkty pomiarowe

PP – pion pomiarowy

U – niepewność pomiarowa dla współczynnika rozszerzenia $k=2$

k_E – poprawka pomiarowa badanej instalacji radiokomunikacyjnej podana przez operatora ($k_E=1,70$),

poprawka pomiarowa w przypadku oddziaływania innych instalacji radiokomunikacyjnych na badany obszar ($k_E=2,0$)

WME – wartość wskaźnikowa poziomu emisji pól elektromagnetycznych dla miejsc dostępnych dla ludności dla składowej elektrycznej pola

WMH – wartość wskaźnikowa poziomu emisji pól elektromagnetycznych dla miejsc dostępnych dla ludności dla składowej magnetycznej pola

Przyjęto najniższą dopuszczalną wartość składowej elektrycznej pola dla objętego pomiarami zakresu częstotliwości $\min(ME_{gr}) = 28$ V/m oraz składowej magnetycznej $\min(MH_{gr}) = 0,073$ A/m.

7. Stwierdzenie zgodności

Na podstawie wytycznych podanych w Rozporządzeniu Ministra Zdrowia z dnia 17 grudnia 2019 r. w sprawie dopuszczalnych poziomów pól elektromagnetycznych w środowisku (Dz.U. 2019 poz. 2448) oraz sposobów sprawdzania dotrzymania tych poziomów zgodnie z Rozporządzeniem Ministra Klimatu z dnia 17 lutego 2020 r. w sprawie sposobów sprawdzania dotrzymania dopuszczalnych poziomów pól elektromagnetycznych w środowisku (Dz.U. 2020 poz. 258) dotyczących źródła wymagań, które muszą być spełnione (załącznik do rozporządzenia Ministra Klimatu z dnia 17 lutego 2020 r. (poz. 258)), w oparciu o zasadę podejmowania decyzji zgodną z pkt 26 załącznika do rozporządzenia Ministra Klimatu z dnia 17 lutego 2020 r. (poz. 258), na podstawie wyników pomiarów pól elektromagnetycznych wykonanych w dniu 04.11.2021r. stwierdzono, iż w miejscach dostępnych dla ludności, dopuszczalne poziomy pól elektromagnetycznych w środowisku, określone w przepisach wydanych na podstawie art. 122 ust. 1 ustawy z dnia 27 kwietnia 2001 r. – Prawo ochrony środowiska, uznaje się za dotrzymane w obszarze pomiarowym, w którym w wyniku zastosowania sposobu sprawdzenia dotrzymania dopuszczalnych poziomów pól elektromagnetycznych w środowisku, udokumentowano, że żadna z wartości wskaźnikowych nie przekracza wartości 1.

8. Oświadczenie.

Wyniki badania odnoszą się wyłącznie do badanego obiektu.

Bez pisemnej zgody sprawozdanie nie może być powielane inaczej, jak tylko w całości.

Uwagi i zastrzeżenia przyjmowane są w formie pisemnej w ciągu 14 dni od daty otrzymania sprawozdania.

9. Spis załączników.

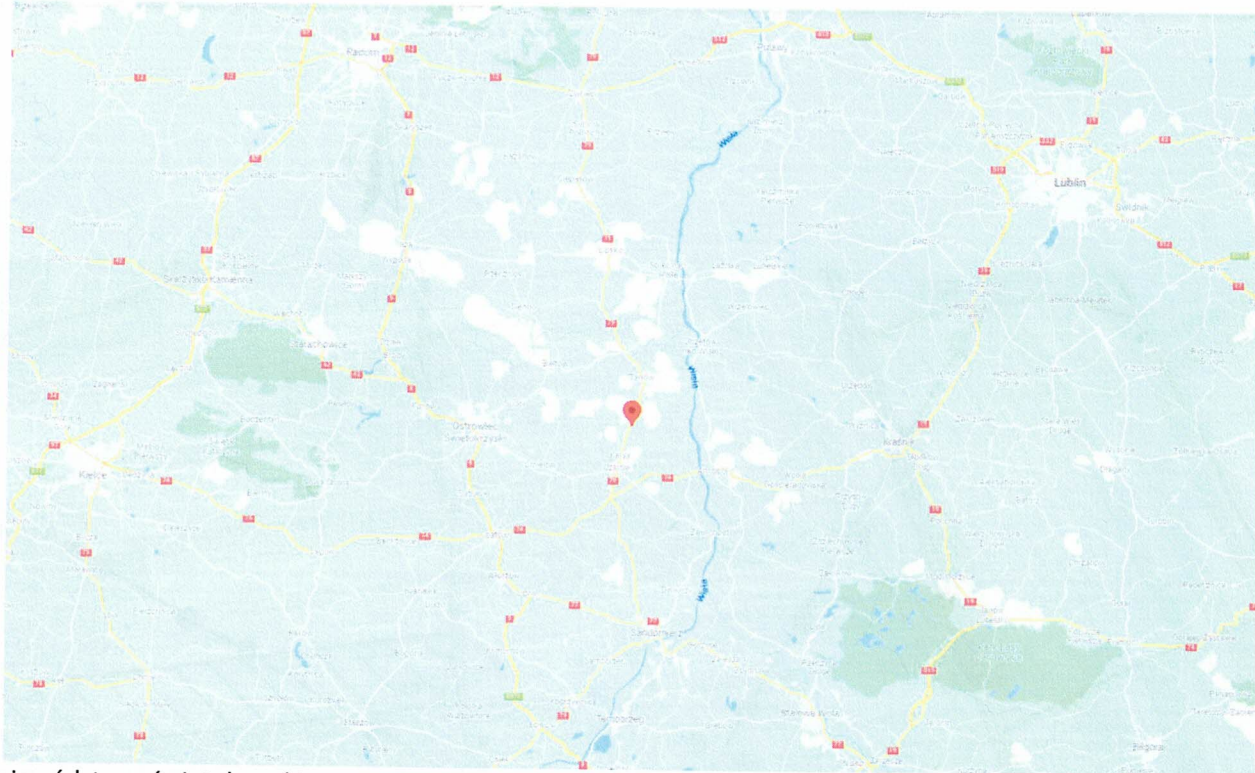
Zał. 1. Lokalizacja obiektu.

Zał. 2. Widok pionów pomiarowych

Zał. 3. Załączniki graficzne.

Koniec sprawozdania

Załącznik 1. Lokalizacja obiektu



województwo: świętokrzyskie

Współrzędne geograficzne	
długość:	E: 21° 41' 46,7"
szerokość:	N: 50° 56' 33,9"



Skala: 1:7100

Strona 10 z 11

Załącznik 3. Załączniki graficzne.



